

フロック形成過程の数値設計に関する研究

北海道大学工学部 工博 正会員 丹保寛仁

○ 同 学生員 渡辺義公

1. はじめに

現在まで、凝集-フロック形成-沈殿-汎過の行程で行なわれている conventional な水処理過程における主要プロセスの一つであるフロックキュレーターの設計は、单なる滞留時間とパドルの周辺速度を規定して(水道施設基準)設計を行なう程度で確実な設計手段を持たない。

本論文の目的は著者等が前報⁽¹⁾において明らかにして来たフロック形成過程の基本式を、電子計算機により解り得られた数値解を基にして検討することによりフロック形成過程を数値化し、更に進んで、フロックキュレーターへ合理的な設計法を確立することである。

2. フロック形成の基本式

前報⁽¹⁾で示したように、局所等方性乱流理論に基づき、粘性領域内でのマイクロな拡散加速度と乱流拡散によってフロックキュレーター内のフロックの衝突合一が進行するとして(1)式のようなフロック形成の基本式が与えられた。(1)式は過大成長フロックの破壊を考え、直径 d_i の初期粒子がR個集ったフロックの個数比が、フロック形成攪拌時間(t)の経過に伴つてどのように変化するかを示したものである。その結果、フロック形成過程が、 m 値、 S_m 値、 K_p 値の三つへ無次元指標で一般的に表示できるようになり、定量的扱いが可能になった。

$$\frac{dN_R}{dm} = \frac{1}{2} \sum_{i=1}^{R-1} \left[i^{\frac{1}{3-K_p}} + (R-i)^{\frac{1}{3-K_p}} \right]^3 N_i N_{R-i} - N_R \sum_{i=1}^{S-R} \left(R^{\frac{1}{3-K_p}} + i^{\frac{1}{3-K_p}} \right)^3 N_i \quad (1)$$

$$\sum_{i=1}^S i N_i = 1$$

ここで、 N_i 、 N_R ：初期粒子数、 R 個集つて出来た粒子の数 n_i 、 n_R の初期粒子数 n_0 に対する割合 ($N_i = n_i/n_0$, $N_R = n_R/n_0$)、 m ：無次元化攪拌時間(フロック形成時間)、 S ：与えられた攪拌条件下で成長し得る最大成長粒子への初期粒子の集合個数、 K_p ：フロック密度関数の指數。 m 、 S 、 K_p はそれぞれ次式で定義される。

$$m = 1.22 \sqrt{\frac{E_*}{\mu}} d_i^3 n_0 t \propto G_* C_0 t \quad (2)$$

$$S = S_m^{\frac{3-K_p}{3}} \quad S_m = (d_{max}/d_i)^3 \quad (3)$$

$$S_e = S_s - S_0 = \alpha / (ds/d_i)^{K_p} \quad (4)$$

$$d_{max} = K E_*^{-\frac{3}{2(3+K_p)}} = K G_*^{-\frac{3}{3+K_p}} \propto N_p^{-\frac{9}{2(3+K_p)}} \quad (5)$$

ここで、 E_* ：単位時間内に単位体積の流域内で失われるフロック形成に有効なエネルギー量 [$\text{erg}/\text{cm}^3 \cdot \text{sec}$]、 d_i 、 n_0 ：フロック形成池へ流入して来る初期粒子の直径 [cm] と個数 [$1/\text{cm}^3$]、 t ：攪拌時間 [sec]、 G_* ：総攪拌エネルギー指標 = $\sqrt{E_*/\mu}$ [$1/\text{sec}$]、 E_* ：フロック形成池全体の総エネルギー消費率 (0.1 ~ 0.2 E_*/E_0)、 C_0 ：初期粒子群の体積濃度 $d_i^3 n_0$ に比例し近似的に原水濁度(

C_T に比例する(無次元), s_e : フロックの有効密度 [g/cm^3], s_s : フロックの実密度 [g/cm^3], s_w : 水の密度 [g/cm^3], d_s : フロックの直径 [cm], α, K_g : 凝集条件によって決まる定数, S_m = フロックの最大成長度(無次元), d_{max} : 与えられた条件下で成長し得る最大フロック径 [cm], N_r : 搾拌軸の回転数 [r.p.m.]

これらの関係から明らかのように、最大成長度 S_m (操作側から云えばフロックをどこ迄成長させよか) と密度関数の指數 K_g (主に凝集の際の凝集剤量と濁質量の比 - ALT 比 (z) により決められる) が与えられれば、フロック形成は無次元指標 m のみに従う。

3. フロック形成基本式の数値解

(1) 式の数値解を北大大型計算機センター所属の FACOM 230-60 を用いて、Runge-Kutta-Gill 法による数値積分により求めた。FACOM 230-60 のメモリーは約 40000 である $S = 10000$ 迄の解を得ることは計算時間を考慮すれば可能である。 $K_g = 1.5$ とする(4)式から $S_m = 10^8$ 迄の解を得る事ができ、実用範囲を十分にカバーすることができる。その計算結果を $S = 50$, $K_g = 1.2$ について、横軸に無次元化搅拌時間 (m), 縦軸に R 倍粒子の体積百分率をとり図示すると図-1 となる。図から明らかなように、 $m = 0.1 \sim 0.2$ で急激なフロック組成の変化が起り $m = 0.5$ では 90% 以上 ($R_{40} \sim R_{50}$ 中のほとんどすべてが R_{50} 粒子である) が最大成長粒子で占められ、図-2 に示される実験結果とかなり異なるパターンを示している。

過去における研究例と(1), Fair と Gemmel⁽³⁾ は Smolu-chowkhi により与えられた速度勾配によるフロック形成式(6)を電子計算機で解き数値解を求めている。

$$\frac{dn_k}{dt} = \frac{2}{3} \frac{du}{dz} \left[\sum_{j=1}^{K-1} n_i n_j (R_i + R_j)^3 - 2n_k \sum_{i=1}^{\infty} n_i (R_i + R_k)^3 \right] \quad (6)$$

ここで, $n_{K,i,j}$: K, i, j 倍粒子の個数 [$1/\text{cm}^3$], R_i, R_j : i, j 倍粒子の衝突半径 [cm], du/dz : 衝突が起こる点における速度勾配, である。

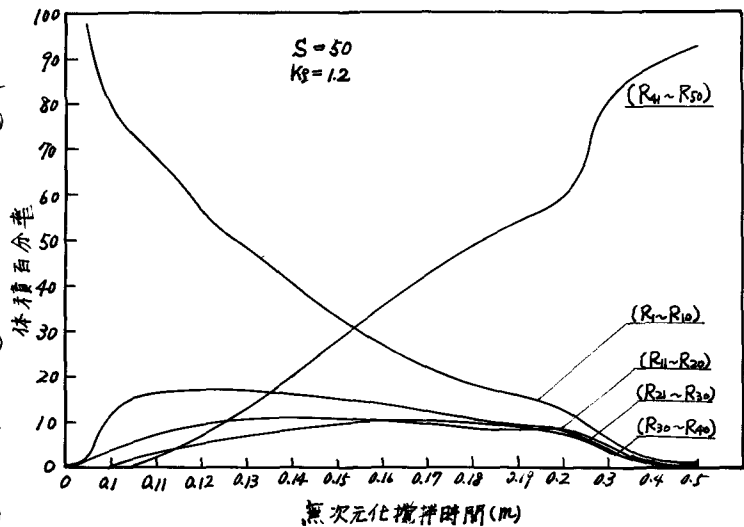


図-1

最大成長粒子を規定し、それ以上の大きさの粒子を作ら衝突においては、衝突した二粒子は衝突前の二粒子に戻ると仮定した計算結果が図-3, 等しい体積を持つ10個の粒子に解体すると仮定した計算結果が図-4 である。また、Harris と Kauffman⁽⁴⁾ は(6)式を最大成長粒子以上の粒子は等しい体積の二粒子に解体することで数値計算した結果が図-5 である。いずれにつけども、図-2 に示されるような実験結果のパターンを示していない事は明白であろう。

図-3中のGは速度勾配、
Noは初期粒子数、Tは粒子
数が半分になる時間、tは
実フロック形成時間である。
図-5中の日はフロック形
成因子である。なお、(6)式
は層流中のフロック形成
に対する適用されるべきも
のであり、実際のフロック
ユーレーター内のフロック
形成には適用しない。

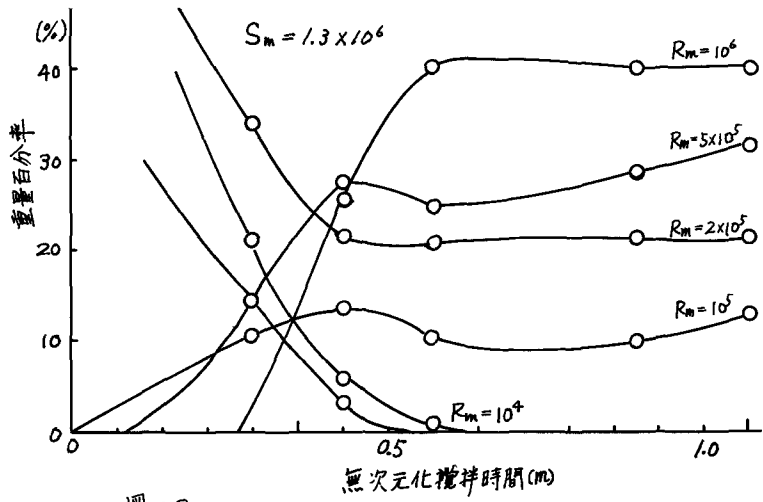


図-2

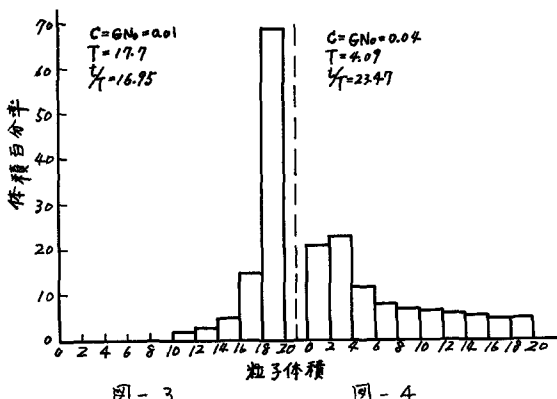


図-3

図-4

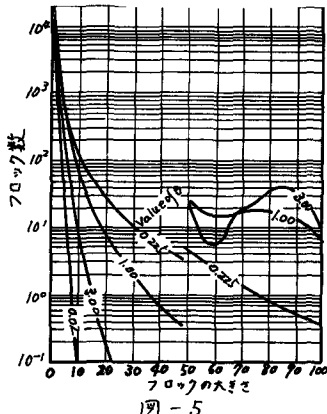


図-5

4. Rapid Coagulation & Slow Coagulation

以上の様な矛盾が生じたのは、(1), (6)式とも衝突した粒子は必ず合つると云う *Rapid Coagulation* のプロセスを直接的に採用したことによる。Smoluchowski にまつてから Brown 運動を、driving force とする凝集速度式へ解は(7)式とえられ、凝集の初期段階においては非常に良く実験結果と一致する事が多く報告されている。

$$N_t = \sum_{k=1}^{\infty} N_k \frac{n_0}{1 + 4\pi D_R n_0 t} = \frac{n_0}{1 + \frac{t}{T}} \quad \text{--- (7)}$$

ここで、 n_0 : 凝集開始時に ($t = 0$) 存在する全粒子数 ($/cm^3$)、 N_t : 凝集時間 ($t = t$) における存在する全粒子数 ($/cm^3$)、 D_R : 衝突合一する粒子の相互拡散係数 (cm^2/sec)、 R : 粒子の衝突半径 (cm)、 T : $1/4\pi D_R n_0$ 。
(8) は *Coagulation Time*、即ち全粒子数が初期全粒子数の半分になる時間であり放射性元素の半減期に相当する (sec)、 t : 実凝集時間 (sec)。

Smoluchowski⁽⁵⁾ は衝突した粒子がすべて合つする場合を *Rapid Coagulation* とし、その際の *Coagulation Time* (T) は(8)式であり、衝突した粒子の内のある割合 (α) のみが合一する場合を、

Slow Coagulation とし、その際の Coagulation Time を(9)式で表わした。

$$T = 1 / 4 \pi D_r R n_0 \alpha \quad \text{--- (9)}$$

(7)式を(8), (9)式を用いて図示すると図-6となる。従って、
単に時間のスケールを変化させることによって、Smoluchowski の提唱した Rapid Coagulation と Slow Coagulation のプロセスは全く同一のものと見なすことが出来、
形成される粒子の組成は等しいものとなる。また Hahn と Stumm⁽⁴⁾は Smoluchowski と同様の見地に立って、衝突合
一確率 (Factor of Collision Efficiency) を考え、理論
による Rapid Coagulation の凝集速度と実験により求め
た凝集速度とを比較して種々の凝集条件下における衝突合
一確率を求めた。図-7は衝突合一確率 (α) を PH をパ
ラメーターとして凝集剤添加量との関係を示したものである。
更に Fuchs⁽⁵⁾は Rapid Coagulation と Slow Coagulation との差をエネルギー-バリアーの存在を導入して理
論的考察を行なっている。

しかし、フロック形成においては衝突する粒子の大きさ
は数十～数百ミクロンであり、エネルギー-バリアーが影響
する範囲に比べて著しく大きく、Fuchs の理論はほとんど
適用しえない。従って、フロック形成を考えるに当っては
全く別の見解に立って衝突合一の確率を検討する必要があ
る。

5. フロック形成における衝突合一確率

無次元化されたフロック形成基本式において、フロック形成速度の大小は衝突半径、従って衝突する粒子の大きさで一義的に決められる。即ち、フロック形成速度は衝突回数により決ると考えるのが大きな衝突半径を持つ大粒子の形成速度が圧倒的に大きくなり最終的には形成されるのみで他の粒子との衝突によって別のランクの粒子に移ることになり最大成長粒子のみが存在する粒度分布になる。しかし、成長平衡に達した粒子群は必ずしも单一組成に近い最大成長粒子のみの分布を持つことはなく理論式(1)と矛盾する。そこで、この点に関して(1)式の補正が必要となる。

まず簡単のために、フロックを球形と仮定し図-8を参考にして、フロックの合一過程を考えよう。最大成長粒径 (d_{max}) の半分の直径を持つ $\frac{1}{2}d_{max}$ の粒子同志の衝突によって生ずる粒子はその体積が最大成長粒子のそれの $\frac{1}{4}$ にするに、衝突によって生じた粒子の球への再整形がなければ(液滴の合一の場合には考えられるが、フロックの場合にはあり得ない) A の方向には成長しない、A 方向に衝突した粒子は合一することなく乱流変動による剪断により破

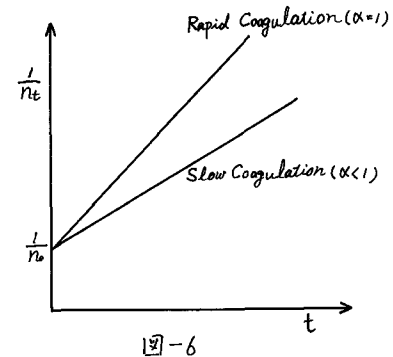


図-6

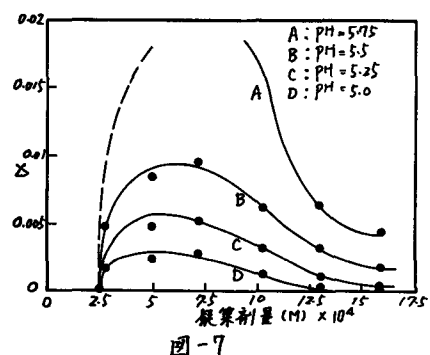


図-7

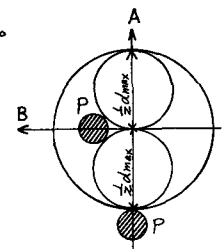


図-8

壊され、衝突前の粒子に戻る。粒子Pが衝突後合一出来るのはBの方向のしかも最大成長径内に納まる場合のみである。しかも実際に形成されるフロックはアルミニウムフロックの密度を求めて隙間に仮定した形状係数0.8程度とすると図-9のような形状になる。⁽⁸⁾ 更に粒径が大きくなればなる程その形状も不整形になり、球²を考えるよりも遙かに小さな粒子の形成においても図-8の様な現象が起り得ることは容易に想像される。(S-1)倍粒子と1倍粒子の衝突によってS倍粒子(最大成長粒子)が形成される場合を考えると、1倍粒子が合一出来る場所はわずか一ヶ所であり、理論的には合一可能であっても衝突合一確率は0と考えても大差ないであろう。従って、衝突合一の確率を α_f とすると α_f は小粒子を形成する衝突合一におけるは大きく、大粒子を形成する衝突合一におけるは小さく、しかしながら数値的には $0 \leq \alpha_f \leq 1$ であることが定性的に理解し得よう。そこで α_f を衝突合一確率関数として次の如く表示することができる。

$$\alpha_f(R) = F(S, R, B) \quad \dots \dots \dots (10)$$

なお、 $\alpha_f(R)$ はR倍粒子が形成される際の衝突合一確率を示すこととするが、R倍粒子を形成する粒子の組合せは種々あり厳密には各々の組合せで $\alpha_f(R)$ も異なるであろうがここではその平均値を考えることとする。更に α_f は、一連のべき級数の形で表現することが妥当であろうが、ここでは(10)式の形で表らわすこととする。(10)式中のBは、そこを越える迄 $\alpha_f = 1$ である倍粒子数を表らし、関数の座標移動の必要上導入した。Bをいかなる値にとるかを理論的に決定することは不可能であるが、次の様な論理は可能である。

最大成長粒子内に一方向のみに初期粒子が並んだとすると $S^{\frac{1}{3}}$ 個並ぶ事が出来る。しかしフロックの結合力と乱流変動による剪断力との関係⁽⁹⁾で破壊が起こるのであるから、三次元的に相互に補強し合ひない限り d_{max} の粒子に造成長することは不可能である。従って $B < S^{\frac{1}{3}}$ である。次に最大成長粒子内に平均的空隙を持つて初期粒子が配列してある場合について考えると、一方向に並んでいる初期粒子の数は $S^{\frac{1}{3}}$ 個である。この場合、 $S = 10^3$ (通常のフロック形成では比較的強い搅拌条件に相当し、例えば、 $d_i = 5\mu$, $k_g = 1.2 \text{ cm}^2/\text{s}$, $d_{max} = 100 \mu$ 程度である) とすると 10 個の粒子が一方向のみに並んでいる事になるが、実際には、この様な配列のフロックでは剪断力が結合力より遥かに大きく最大成長径以下であるとも破壊が起こる。以上の点を考慮して $B = 3 \sim 5$ 程度を採用すべきであろうが本論文においては、 $B = 0$ として $\alpha_f(R)$ の関数形を(11)式の様に定めることとする。

$$\alpha_f(R) = \left(1 - \frac{R}{S+1}\right)^n \quad \dots \dots \dots (11)$$

なお、Bを考慮した式は

$$\alpha_f(R) = \left(1 - \frac{R-\beta}{S+1-\beta}\right)^n \quad \dots \dots \dots (12)$$

となり、実際に対照としている範囲のフロックについては、 $S+1 \gg \beta$, $R \gg \beta$ であるから(12)式のように表現する限りにおいては $\beta = 0$ としても大した差は生じて不会。

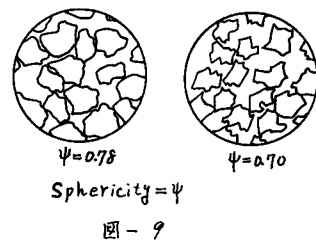


図-9

(1)式中の指數れは理論的には勿論決定出来ないの²、前報¹⁾で実験により示された接触フロック形成における平均的有効衝突係数と成長平衡におけるフロックの粒度分布と、れを1から6まで変化させ2行行った計算結果とを比較する事により求めた。その結果 $m = 5 \sim 7$ の値が妥当と思われたので本論文においては、衝突合一確率関数を(13)式のようく定めた。

$$\alpha_f(R) = \left(1 - \frac{R}{S+1}\right)^6 \quad \text{--- (13)}$$

6 標準化成長平衡m曲線

図-5に示した様に、フロックの破壊を考えると m 値がある値まで増加して来るとフロック群の成長が止まる。この様な状態を成長平衡とここでは称することとする。成長平衡に達した粒子群の粒度分布が初期条件へ如何にかかわらず一つの定まった形になることについては、大気中ハエアロゾルの凝聚現象におけり経験的に Jungelにより見出され、SwiftとFriedlander¹⁰⁾が理論的裏付けを行后、Hidy¹¹⁾が Smoluchowski Brown運動による凝聚速度式の数値解から確かめられてる。この様な平衡時の分布形を示す関数は Self-Preserving size distribution function(自平衡粒度分布関数)と呼ばれる。Swift, Friedlanderの理論におけり、一定の大きさ以上の粒子は重力により沈降し、考えている系から消滅すると仮定してりるが、成長平衡が存在する点を考えるならば、フロックの粒度分布も自平衡状態となつて、初期条件に關係なくフロック形成条件を表示する適当な変数を用ひて変数変換を行なえば、一つの分布に帰一させることか可能であろうと推察される。

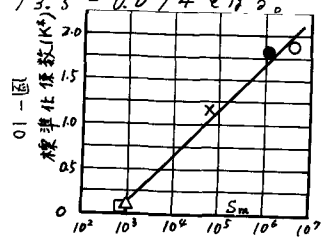
平衡分布に達したm曲線(横軸に初期粒子が所定の水深を沈みきるに要する時間を100とした無次元化沈降時間、縦軸に除去累積百分率をとり、 m をパラメーターとした沈降除去曲線)は、その時ハフロックの粒度分布を間接的に示すものであるから、もし分布が同一関数形を有してゐるであれば、横軸の目盛を適当に縮小せることによって一本の曲線に帰一するこ事が出来るはずである。そこで、各々の S_m についての m曲線の横軸に適当な係数をかけ、曲線を水平方向に伸縮させて一本の標準化時間累積曲線(標準化m曲線)に帰一せし手順を次の様にして行なつた。

まず、(14)式のような標準化関数を定義す。

$$\theta^* = K^* \theta \quad \text{--- (14)}$$

ここで、 θ^* : 標準化された無次元化沈降時間、 K^* : 標準化係数、 θ : 無次元化沈降時間。

簡単のために、 $\varphi(\theta) = 50\% \approx \theta^* = 1.0\%$ となる様な成長平衡m曲線を標準化成長平衡m曲線と指定することとする。実験によって求めた各 S_m についての成長平衡m曲線の $\varphi(\theta) = 50\%$ 値がすべて $\theta^* = 1.0\%$ の所に来るよう補正するための標準化係数を決める。例えば $S_m = 700$ の場合は、 $\varphi(\theta) = 50\% \approx \theta = 13.5\%$ であるから、 K^* を(14)式に代入して $K^*(700) = 1 / 13.5 = 0.074$ となる。
この様にして求めた最大成長度 S_m と K^* の関係を図示すると図-10のようになり対数グラフで直線関係が得られる。各 S_m についての成長平衡m曲線の横軸の値にそれにつけられた標準化係数をかけてプロットすると図-11のようになる。図から明らかにすうに成長平衡m曲線は一本の標準化m曲線に帰一され、予想したように成長平衡粒度分布



度分布は自平衡 (Self-preserving) 性を持つことことがわかる。従って、すべての成長平衡粒度分布は図-10と図-11を併用して一義的に示し得ることが可能となった。

7. 衝突合一確率関数を導入したフロック形成基本式の数値解

衝突合一確率関数を導入したフロック形成基本式は

$$\frac{dN_R}{dm} = \frac{1}{2} \sum_{i=1}^{R-1} \left(1 - \frac{R}{S+1}\right)^n \left(\frac{1}{i^{3-K_p}} + (R-i)^{\frac{1}{3-K_p}} \right)^3 \\ N_i N_{R-i} - N_R \sum_{i=1}^{S-R} \left(1 - \frac{R+i}{S+1}\right)^n N_i \quad (15)$$

ここで $n = 6$

(15)式を(4)式と同様にして解いて結果を横軸に無

次元化攪拌時間 (m)、縦軸に R 倍粒子の体積百分率をとり図示すると図-12となる。 $K_p = 1.2$ について、 $S = 50, 75, 100$ における成長平衡時間の累積体積粒度分布を示すと図-13となる。

それらの図の横軸を累積体積が 50 % を示すよう右側 $R (\nabla_{50})$ で無次元化すると図-14のよう一本の曲線に帰着される。無次元化の際の S と $R (\nabla_{50})$ の関係は 図-15から

$$R(\nabla_{50}) = 0.45 S \quad (16)$$

この図からも、Swift, Friedlander, Hidy 等が、粒子の破壊が起らぬない Brown 運動による凝集における指摘した自平衡粒度分布か、過大成長粒子の破壊が生ずる乱流変動によるフロック形成においても成立する事が明らかとなった。

この自平衡分布が先に実験で求められた自平衡分布と一致するか否かの検討のために図-11を作成したと同様の手順により標準化して図-11に加えて示すと、 $S = 50$ について(3)式より、 $S_m = 700$ 、その際の K_p^* は 0.08 となり大略実験値と一致する。沈降時間の増加につれて数値解と実験値のずれが大きくなるのは実験に用いたフロッキュレーター内のエネルギー分布が均一でないことに、フロック径の測定の精度にも原因があろう。

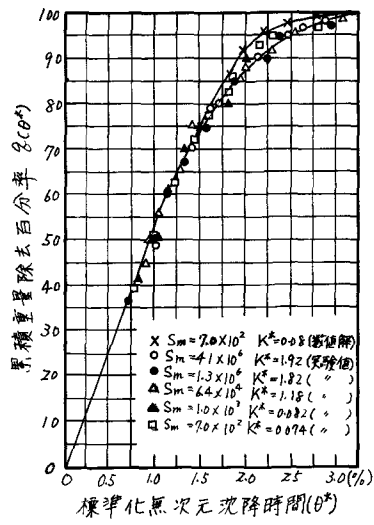


図-11

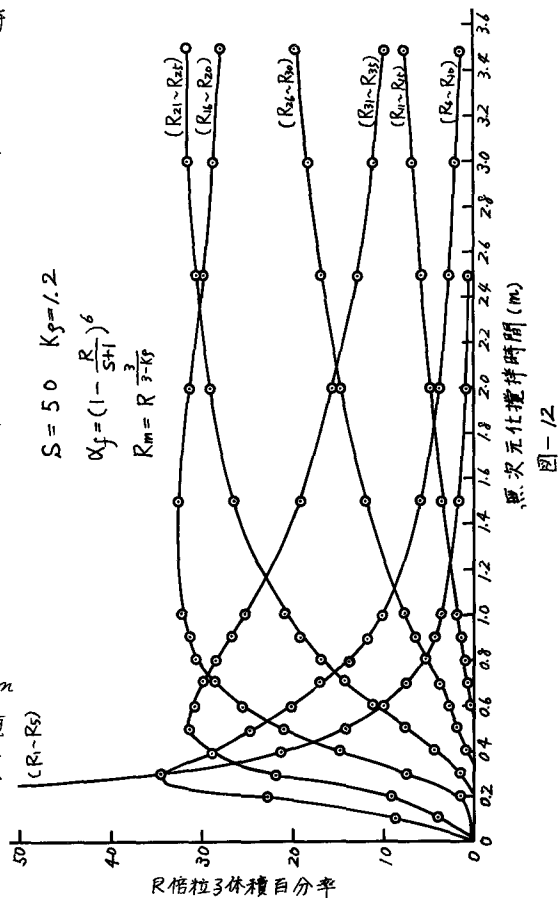


図-12

また平衡分布に達してから母フロック群とマイクロフロック群とを反応させる接触フロック形成は、累積体積50%を示すフロックによつて母フロック群の粒径が代表されようからその際の平均的衝突合一確率を \bar{P} とすると(13), (14)式より

$$\bar{P} = \left(1 - \frac{0.45S}{S+1}\right)^6 \div (1-0.45)^6 = \frac{1}{35}$$

代表径を累積体積60%を示すフロック径とすると、 $\bar{P} \approx 1/50$ 従つて、平均的に $1/40$ 程度となり前報⁽¹⁾における接触フロック形成の際の平均的衝突合一確率 $\bar{P} = 1/40 \sim 1/45$ とほぼ一致する。

8 みわりに

本論文においては、従来定量的設計の基本関数として示された未だフロック形成基本式も、フロックの物性、衝突合一確率を考慮する事により定量化し、数値解を求め、実験値と比較しながら理論の実用化を達成して来た。その結果得られた結論は次の諸点に要約される。

- (1) フロック形成反応においては、衝突速度式を、直接、合一速度式に適用することは不可能であり、衝突合一の確率を考慮する事が必要である。衝突回数の大小と合一の速度は同一なものではなく、フロック形成速度は衝突回数と衝突合一確率の積である。
- (2) フロック成長における衝突合一確率は Smoluchowski の仮定した粒子に同一ではなく、粒子の大きさに伴つて変化する性質を持ち、また、Fuchs やエルギーバリアーの存在を考慮して理論的に導いたものとも異なる。何故なら、両者の採用した衝突合一確率は只單に集塊時間のスケールを伸縮せしめることにより全く同一の粒度分布を得ら

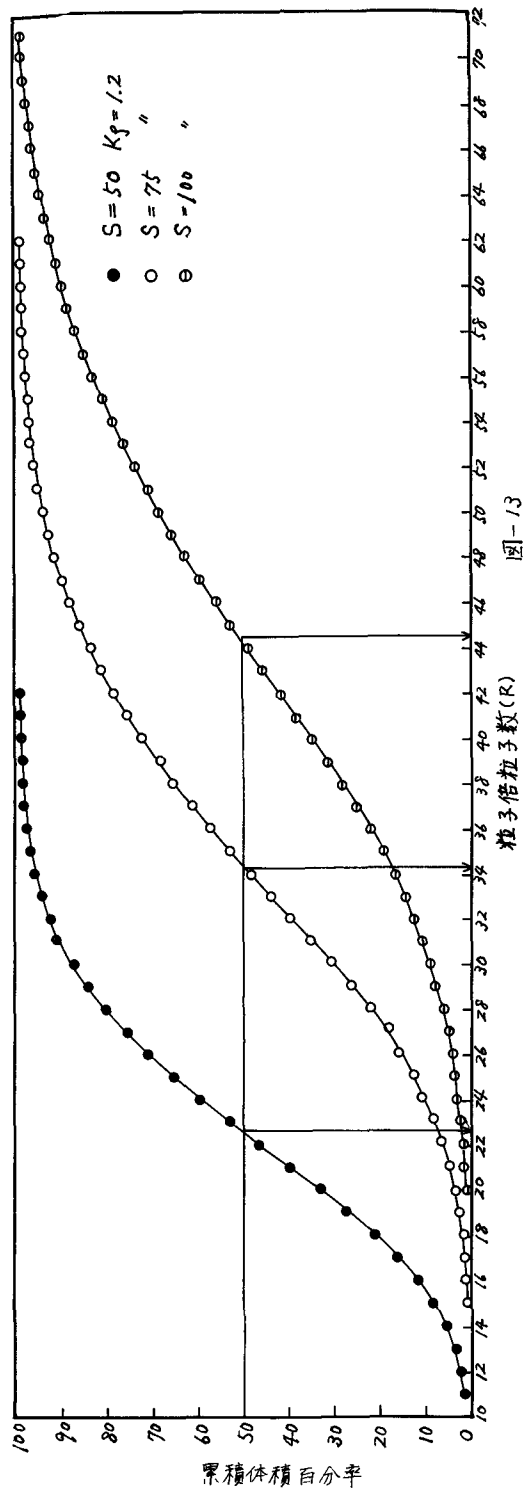


図-13

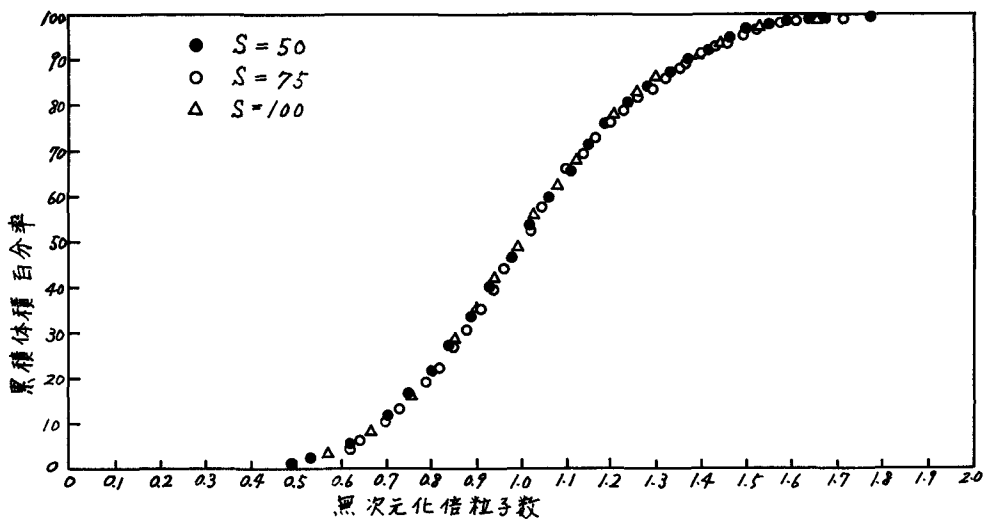


図-14

これらに対して、フロック形成反応においては、時間的スケールのみならず粒度分布にも影響する性質を持つものとされねばならないからである。

(3) フロック形成反応における衝突一確率(α_f)は

$$\alpha_f(R) = F(S, R)$$

の関係にあり、 $(S+1)$ 倍粒子以上へ粒子を形成する衝突における合一が0であることを考慮すると $2 \leq R \leq S$ において

$$\alpha_f(R) = \left(1 - \frac{R}{S+1}\right)^n$$

(4) n の値と12、接触フロック形成によ

り求めた平均的衝突一確率と成長平衡時におけるフロックの粒度分布から $n = 5 \sim 7$ 程度であり近似的に $n = 6$ と考えても良いであろう。

(5) Brown運動による凝聚において見出されていると同様の自平衡粒度分布 (Self-preserving size distribution) が乱流運動によるフロック形成においても存在し、形成条件 (初期粒子の大きさと数、攪拌強度、フロック形成時間) が m 値として無次元化された如く、成長平衡時ににおけるフロックの粒度分布も最大成長比 (S) と K_S の関数として無次元化された。なお、過渡状態における粒度分布の無次元化が可能か否かについては現在検討中である。

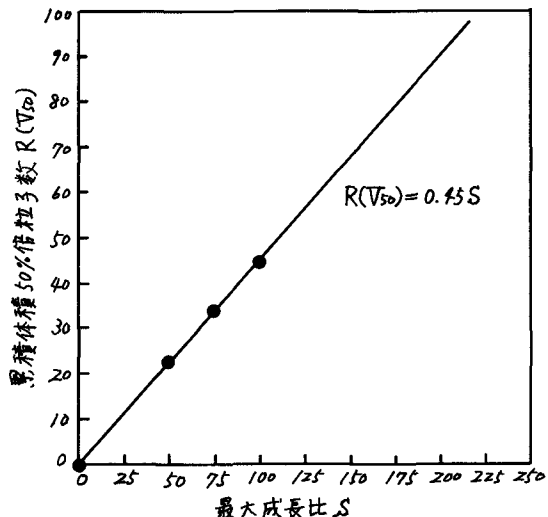


図-15

フロック形成過程は本論文中で示された様に、單なる物理現象ではなく、界面化学的現象も当然考慮する必要があろうが、少なくとも界面化学的反応が十分に完了した場合にフロック形成過程の定量化はなし得たと考えられる。

参考文献

- (1) 丹保憲仁, 穂積準, 渡辺義公 フロッキュレーターの合理的設計[I], 水道協会雑誌 431号 P. 20~27 昭45. 8
- (2) 丹保憲仁, 渡辺義公, 清水慧 アルミニウムフロックの密度に関する研究[II], 水道協会雑誌 410号 P. 14~17 昭43. 11
- (3) Fair. G. M, Gemmel. R.S, A Mathematical Model of Flocculation, Journal of Colloid Science 19 P. 360~372 1964
- (4) Harris. H. S, Kauffman.W. J, Krone. B, Orthokinetic Flocculation in Water Purification, Journal of Sanitary Engineering Division P. 95~111 Dec. 1966
- (5) Krantz. H.R, Colloid Science I P. 283~286 Elservier Publishing Co 1952
- (6) Hahn.H. H, Stumm. W, Kinetics of Coagulation with Hydrolyzed Al(III)
The rate-determining Step, Journal of Colloid and Interface Science 28. 1
P. 134~144 Sep. 1968
- (7) 丹保憲仁, 渡辺義公, アルミニウムフロックの密度に関する研究[I], 水道協会雑誌 397号 P. 2~10 昭42. 10
- (8) Fair. G. M, Geyer. J. C, O'Kee. D. L, Water and Waste Water Engineering
Vol. 2 John Wiley & Sons P. 27~12
- (9) 丹保憲仁, 山田浩一, 穂積準, フロック強度に関する研究, 水道協会雑誌 427号 P. 4~15
昭45. 4
- (10) Swift. D. L, Friedlander. S. K, The Coagulation of Hydrosols by Brownian Motion and Laminar Shear Flow, Journal of Colloid Science 19 P. 621~647 1964
- (11) Hidy. G. M, On the Theory of the Coagulation of Non-interacting Particles in Brownian Motion, Journal of Colloid Science 20 P. 123~144 1965
- (12) 丹保憲仁, 渡辺義公, フロック形成過程の基礎的研究-非接触型-, 第20回全国水道研究発表会
講演集 P. 166~167 昭44